

สมบัติทางเคมีภysis และสมบัติเชิงหน้าที่

ของโปรตีนสกัดจากดักแด้ห่อนไหม

Physicochemical and Functional Properties of

Silkworm Pupae Protein Extract

พัฒนวิชญ์ จุภาวงศ์ และ วรangคณา สมพงษ์*

สาขาวิชาชีววิทยาศาสตร์และเทคโนโลยีการอาหาร คณะวิทยาศาสตร์และเทคโนโลยี มหาวิทยาลัยธรรมศาสตร์ ศูนย์รังสิต

Pattanawich Joopawang and Warangkana Sompongse*

Department of Food Science and Technology, Faculty of Science and Technology, Thammasat University,

Rangsit Centre

Received: September 4, 2021; Accepted: October 20, 2021

บทคัดย่อ

งานวิจัยนี้มีวัตถุประสงค์เพื่อหาสภาวะที่เหมาะสมในการสกัดโปรตีนจากผงดักแด้ห่อนไหมที่ผ่านสกัดไขมันออกแล้ว และศึกษาสมบัติทางเคมีภysis และสมบัติเชิงหน้าที่ของโปรตีนที่สกัดได้ ในขั้นตอนการสกัดโปรตีน พบว่า ค่า pH ที่เหมาะสมในการสกัดโปรตีนจากดักแด้ห่อนไหมเท่ากับ 4.5 ซึ่งโปรตีนที่สกัดได้มีสีออกเหลืองส้ม (L^* เท่ากับ 58.04 ± 0.47 , a^* เท่ากับ 9.71 ± 1.31 และ b^* เท่ากับ 38.58 ± 1.28) และมีปริมาณโปรตีนเท่ากับร้อยละ 50.37 ± 0.72 การศึกษาสมบัติเชิงหน้าที่ของโปรตีนสกัดจากดักแด้ห่อนไหม พบว่ามีความสามารถในการละลายที่ดีในสภาวะที่มีค่า pH มากกว่า 7 มีความสามารถในการทำให้เกิดโฟมต่ำ แต่มีความคงตัวของโฟมที่เกิดขึ้นสูงกว่าอย่างมีนัยสำคัญ ($p < 0.05$) เมื่อเทียบกับウェป์โปรตีนเข้มข้นและไข่ขาวผงที่จำหน่ายทางการค้า เมื่อปรับค่า pH มากกว่าหรือเท่ากับ 9 โปรตีนสกัดจากดักแด้ห่อนไหมจะมีความสามารถในการทำให้เกิดอิมลัชั่นระหว่างน้ำและน้ำมันได้

คำสำคัญ: ดักแด้ห่อนไหม; การสกัดโปรตีน; โปรตีนจากแมลง; สมบัติทางเคมีภysis ของโปรตีน; สมบัติเชิงหน้าที่ของโปรตีน

Abstract

The objectives of this study were to investigate the optimum condition to extract protein from defatted silkworm pupae powder and to investigate physicochemical and functional properties of that protein. The optimum pH value for extraction of silkworm pupae protein was 4.5. The protein extract had a yellow-orange color ($Hunter L^* 58.04 \pm 0.47$, $a^* 9.71 \pm 1.31$ and $b^* 38.58 \pm 1.28$) and 50.37 ± 0.72% of protein content. For functional properties of silkworm pupae protein, the result showed high protein solubility

*Corresponding author: warang@tu.ac.th

when pH value was more than 7. Foaming capability of silkworm pupae protein was the lowest but foam stability was the highest ($p < 0.05$), when compare with commercial whey protein concentrate and egg white powder. In addition, silkworm pupae protein showed the emulsion capacity when pH value was greater or equal to 9.

Keyword: Silkworm pupae; Protein extraction; Insect protein; Physicochemical properties of protein; Protein functionality

1. บทนำ

ในปัจจุบันสภาพสังคมในหลายประเทศ มีการขยายตัวของขนาดประชากรอย่างมาก ซึ่งมีการคาดการณ์ว่า ในปี 2050 ประชากรบนโลกอาจเพิ่มขึ้นถึงร้อยละ 65 ส่งผลให้ความต้องการอาหารเพิ่มขึ้นตามไปด้วย โดยเฉพาะสารอาหารประเภทโปรตีน โดยแหล่งโปรตีนหลักของมนุษย์ คือเนื้อสัตว์และผลิตภัณฑ์ แปรรูปจากเนื้อสัตว์ ซึ่งหากประชากรบนโลกเพิ่มขึ้น อาจทำให้ความต้องการในการบริโภคเพิ่มขึ้นถึง 200 ล้านตันต่อปี (Kim, Setyabrata, Lee, Jones, & Kim, 2016) อย่างไรก็ตาม การทำปศุสัตว์ยังเป็นอันตรายต่อสิ่งแวดล้อม โดยเป็นสาเหตุหนึ่งในการทำให้เกิดปรากฏการณ์เรือนกระจก เนื่องจากเป็นการปลดปล่อยแก๊สคาร์บอนไดออกไซด์ (CO_2) และแก๊สมีเทน ดังนั้นหากสถานการณ์เป็นไปตามที่คาดการณ์ไว้ ผลิตภัณฑ์ที่ผลิตได้อาจไม่เพียงพอต่อความต้องการของมนุษย์ รวมถึงทำให้สิ่งแวดล้อมของโลกถูกทำลายลงอีกด้วย อย่างไรก็ตาม International Livestock Research Institution ได้ให้ข้อมูลไว้ว่า ปัญหาดังกล่าวต้องแก้ไขด้วยการใช้เทคโนโลยีนวัตกรรมและการหาแหล่งโปรตีนชนิดใหม่ (Armstrong, 2009)

แหล่งโปรตีนชนิดใหม่ที่กำลังได้รับความสนใจได้แก่ แมลงที่สามารถรับประทานได้ โดยแมลงถือว่าเป็นแหล่งโปรตีนทางเลือกที่มีคุณภาพสูง ซึ่งมีปริมาณโปรตีนอยู่ระหว่างร้อยละ 35 ถึง 61 ขึ้นอยู่

กับชนิดของแมลง (Rumpold, & Schluter, 2013) นอกจากนั้นยังมีปริมาณไขมัน วิตามิน และแร่ธาตุสูง รวมถึงใช้พืชที่และทรัพยากรในการผลิตน้อย และผลิตแก๊สเรือนกระจกในปริมาณที่ต่ำอีกด้วย แต่ปัญหาหลักสำหรับการบริโภคแมลงของมนุษย์ คือลักษณะปราฏภูที่ไม่น่ารับประทาน ซึ่งปัญหาดังกล่าว แก้ไขได้โดยการแปรรูป แมลงให้อยู่ในรูปแบบที่ผู้บริโภคจะจำได้ เช่น การทำให้อยู่ในรูปของผงแมลง หรือสกัดเป็นโปรตีนจากแมลง และใช้เป็นส่วนผสมเชิงหน้าที่ในอาหาร เช่น การเพิ่มความสามารถในการเกิดมิลลชัน ความสามารถในการเกิดเจลและฟอง (Osasona & Olaofe, 2010 and Yi et al., 2013) เป็นต้น

ดักแด้ห่อนไหม (*Bombyx mori* Linn.) เป็นแมลงชนิดหนึ่งที่ได้รับความสนใจในการเป็นแหล่งโปรตีนชนิดใหม่ เนื่องจากมีคุณค่าทางโภชนาการสูง (Wu, Tan, Xu, & Gui, 2011) โดยดักแด้ห่อนไหมเป็นผลผลิตที่ได้หลักที่ได้จากอุตสาหกรรมการผลิตผ้าไหม ซึ่งประเทศไทยถือเป็นประเทศที่มีการทำอุตสาหกรรมผ้าไหมเป็นจำนวนมาก โดยปกติแล้วดักแด้ห่อนไหมที่ได้หลังจากการสาวไหม มักจะนำไปปั่นผสมเพื่อทำเป็นอาหารสัตว์ หรือนำไปปรับประทานในรูปแบบดักแด้ไหมครัว ซึ่งเป็นที่นิยมกันในภาคเหนือและภาคตะวันออกเฉียงเหนือ ในปัจจุบันมีการพัฒนาเป็นอาหารสำเร็จรูปบรรจุกระป๋อง เนื่องจากมีคุณค่าทางอาหารสูง และไม่มีปัญหารื่องสารพิษตกค้าง

สามารถนำมาริโ哥คได้ทุกสายพันธุ์ทั้งพันธุ์ไทย พื้นเมือง ไทยลูกผสม และลูกผสมต่างประเทศ นอกจากนี้ ในน้ำมันดักแด่ใหมยังมีกรดไขมันไม่อิมตัวสูงถึงร้อยละ 67.30 โดยประกอบด้วย กรดโอเลอิก (oleic acid) ซึ่งเป็นสารตั้งต้นของօร์โนน บางชนิด ช่วยให้กล้ามเนื้อเรียบหดตัว ควบคุมการหลบหน้ายื่นของตับอ่อน และควบคุมความตันโลหิต และกรดไลโนเลนิก (linolenic acid) ซึ่งมีบทบาทสำคัญในการเสริมสร้างการเจริญเติบโต โดยดักเด่นอนใหม่อาจมีปริมาณโปรตีนทั้งหมด ร้อยละ 45 ถึง 55 ปริมาณไขมันทั้งหมด ร้อยละ 20 ถึง 30 (โดยน้ำหนักแห้ง) และแร่ธาตุต่างๆ ในปริมาณมาก ซึ่งการสกัดโปรตีนจากดักเด่นอนใหม่มีหลายวิธี เช่น การนำผงดักเด่นอนใหม่ไปละลายน้ำ เพื่อให้ได้โปรตีนที่ละลายน้ำได้อย่างมาก รวมถึงการใช้หลักการตกตะกอนของโปรตีน มีการรายงานเกี่ยวกับการสกัดโปรตีนจากดักเด่นอนใหม่ และศึกษาสมบัติเชิงหน้าที่และกิจกรรมการต้านอนุมูลอิสระของโปรตีนที่ละลายน้ำได้ที่สกัดจากดักเด่นอนใหม่ พบร่วงโปรตีนที่สกัดได้มีความสามารถในการละลายที่ดีในช่วง pH เท่ากับ 5–11 แต่โปรตีนดักเด่นอนใหม่ที่สกัดได้ แสดงสมบัติทางอิมลัชันและความสามารถในการทำให้เกิดฟองที่ไม่ดี แต่มีฤทธิ์ในการต้านอนุมูลอิสระที่สูง เมื่อวิเคราะห์โดยใช้วิธี DPPH, ABTS และ FRAP (Chatsuwan, Puechkamut, & Pinsirodom, 2018) นอกจากนั้น Felix et al. (2020) ยังทำการศึกษาสมบัติเชิงหน้าที่ของโปรตีนดักเด่นอนใหม่เข้มข้น พบร่วงโปรตีนดักเด่นอนใหม่เข้มข้น ว่า มีความสามารถในการละลายต่ำที่สุดในช่วง pH 4–5 และละลายได้ดีในช่วง pH ที่เป็นเบส ซึ่งส่งผลต่อการมีกิจกรรมการต้านอนุมูลอิสระที่มากกว่าในสภาพ pH ที่เป็นกรดอีกด้วย แต่ที่ pH 2 โปรตีนดักเด่นอนใหม่เข้มข้นแสดงสมบัติการเกิด

ฟองและความคงตัวของ ฟองที่ดีกว่า pH 8 แต่อย่างไรก็ตาม ข้อมูลเกี่ยวกับสมบัติทางเคมีภysis และสมบัติเชิงหน้าที่ของโปรตีนจากดักเด่นอนใหมยังมีไม่มากนัก เนื่องจากยังเป็นโปรตีนทางเลือกชนิดใหม่ นอกจากนั้นผลจากการวิเคราะห์ยังขึ้นอยู่กับวิธีการที่ใช้ในการเตรียมและการสกัด (Chatsuwan, Puechkamut, & Pinsirodom, 2018 and Joopawang & Sompongse, 2020)

ดังนั้นในงานวิจัยนี้จึงมีแนวคิดในการสกัดโปรตีนจากดักเด่นอนใหม่ โดยใช้หลักการตกละกอนของโปรตีนที่จุด pH (Isoelectric point) และศึกษาสมบัติทางเคมีภysis องค์ประกอบของกรดอะมิโน รวมถึงสมบัติเชิงหน้าที่ของโปรตีนสกัดจากดักเด่นอนใหม่ที่ได้ เพื่อเป็นข้อมูลในการนำไปสกัดโปรตีนจากดักเด่นอนใหม่ไปประยุกต์ใช้ในผลิตภัณฑ์อาหารต่อไป

2. วิธีการ

2.1 วัสดุที่ใช้ในการเตรียมตัวอย่าง

ดักเด่นอนใหม่ (*Bombyx mori* Linn.) แซ่บเยื่อแข็ง จากฟาร์มเพาะเลี้ยง ที่เลี้ยงโดยให้ใบหม่อนที่ปลูกแบบอินทรีย์โดยไม่ใช้ยาฆ่าแมลงหรือสารเคมีเป็นอาหาร จังหวัดฉะเชิงเทรา นำมาละลายที่อุณหภูมิ 4 องศาเซลเซียส เป็นเวลา 18 ชั่วโมง จากนั้นนำไปทำแห้งแบบเชือกแข็ง จนมีปริมาณความชื้นสูดทั้งหมด 7% จากนั้นบดให้เป็นผงละเอียดโดยใช้เครื่องบันสมความเร็วสูง (Philips รุ่น HR 2118/02, The Netherlands) บรรจุตัวอย่างแบบสูญญากาศในถุงอลูมิเนียมฝรอยทึบแสงแล้วเก็บไว้ที่อุณหภูมิห้อง จนกว่าจะนำมาทำการทดลอง

นำตัวอย่างผงแห้งที่ได้ไปสกัดไขมันออกด้วยคาร์บอนไดออกไซด์วิศวกรรมยิ่งยาด ตามวิธีการของ Joopawang & Sompongse (2020)

2.2 การศึกษาค่า pH ที่เหมาะสมในการสกัดโปรตีนจากตักแด็หนองน้ำใหม่

2.2.1 การสกัดโปรตีนจากตักแด็หนองน้ำใหม่

ผสมตักแด็หนองน้ำใหม่ที่ผ่านการสกัดไข้มัน 30 กรัม ในสารละลายนโซเดียมไอกಡอกไซด์ ความเข้มข้น 0.25 มอลาร์ 450 มิลลิลิตร และบ่มที่อุณหภูมิ 40 องศาเซลเซียส เป็นเวลา 1 ชั่วโมง นำตัวอย่างไปปั่นเหวี่ยง (Sigma รุ่น 6-16KS, Germany) ด้วยความเร็ว 3300 g ที่อุณหภูมิ 4 องศาเซลเซียส เป็นเวลา 20 นาที เก็บส่วนใสและส่วนที่เป็นชั้นเจล แล้วทำการสกัดส่วนของแข็งด้วยโซเดียมไอกಡอกไซด์ซ้ำอีกครั้ง รวมส่วนใสและส่วนที่เป็นเจลของการสกัดด้วยโซเดียมไอกಡอกไซด์ทั้งสองครั้งเข้าด้วยกัน แบ่งใส่หลอดปั่นเหวี่ยงหลอดละ 10 มิลลิลิตร และปรับ pH ให้เป็น 3, 3.5, 4, 4.5, 5, 5.5, 6, 6.5 และ 7 ด้วยกรดไฮโดรคลอสิกความเข้มข้น 2 มอลาร์ และนำไปปั่นเหวี่ยง ด้วยความเร็ว 2400 g ที่อุณหภูมิ 4 องศาเซลเซียส เป็นเวลา 15 นาที และวิเคราะห์ปริมาณโปรตีนในส่วนใสที่แยกได้ เพื่อคัดเลือกค่า pH ที่ตกลงกันโปรตีนได้ดีที่สุด และทำการสกัดโปรตีนจากตักแด็หนองน้ำใหม่โดยใช้ค่า pH ดังกล่าว จากนั้นแยกส่วนใสออกแล้วล้างตะกอนด้วยน้ำกลัน นำไปปั่นเหวี่ยงด้วยความเร็ว 2400 g ที่อุณหภูมิ 4 องศาเซลเซียส เป็นเวลา 10 นาที แล้วเยิ้กแข็งตะกอนโปรตีนที่ล้างแล้วขามคืนแล้วนำไปทำแท่งแบบแซเยิ้กแข็งให้ปริมาณความชื้นสุดท้ายน้อยกว่าร้อยละ 5 บรรจุในถุงพอลิเอทิลีนแล้วเก็บไว้ในโถดูดความชื้นที่อุณหภูมิห้องเพื่อรักษาไว้ต่อไป

2.2.2 การวิเคราะห์ปริมาณโปรตีนในส่วนใส

วิเคราะห์ปริมาณโปรตีนในส่วนใสหลังจากการสกัดโดยใช้เครื่อง Bradford (1976) ที่มีการตัดแปลงส่วนโดยเตรียม Bradford reagent (For 0.1 – 1.4 mg/ml protein, BioRad, USA.) 2 มิลลิลิตร ใส่ลงในหลอดทดลอง จากนั้นเติมส่วนใสที่ได้หลังจากการตกลง 0.1 มิลลิลิตร ผสมให้เข้ากัน แล้ววางไว้ในที่มีด 10 นาที จากนั้นนำไปวัดค่าการดูดกลืนแสงที่ความยาวคลื่น 595 นาโนเมตร (Biochrom รุ่น Libra S6, UK.) เปรียบเทียบค่าการดูดกลืนแสงที่ได้กับกราฟมาตรฐานที่ใช้ Bovine Serum Albumin (BSA) เป็นโปรตีนมาตรฐาน

ต่างๆ โดยใช้วิธีการของ Bradford (1976) ที่มีการตัดแปลงส่วนโดยเตรียม Bradford reagent (For 0.1 – 1.4 mg/ml protein, BioRad, USA.) 2 มิลลิลิตร ใส่ลงในหลอดทดลอง จากนั้นเติมส่วนใสที่ได้หลังจากการตกลง 0.1 มิลลิลิตร ผสมให้เข้ากัน แล้ววางไว้ในที่มีด 10 นาที จากนั้นนำไปวัดค่าการดูดกลืนแสงที่ความยาวคลื่น 595 นาโนเมตร (Biochrom รุ่น Libra S6, UK.) เปรียบเทียบค่าการดูดกลืนแสงที่ได้กับกราฟมาตรฐานที่ใช้ Bovine Serum Albumin (BSA) เป็นโปรตีนมาตรฐาน

2.3 การศึกษาสมบัติทางเคมีกายภาพและสมบัติเชิงหน้าที่ของโปรตีนสกัดจากตักแด็หนองน้ำใหม่

2.3.1 การวิเคราะห์ค่าสี (L^* a^* b^*)

วัดค่าสีโดยใช้เครื่อง Colorimeter (Hunterlab รุ่น ColorFlex CX2687, USA.) โดยบรรจุง่ายโปรตีนที่สกัดได้ลงในถ้วยใส่ตัวอย่าง ให้มีความสูงจากก้นถ้วยประมาณ 2.5 มิลลิเมตร และเกลี่ยให้ทั่ว อ่านค่าความสว่าง (L^*) ค่าความเป็นสีแดง (a^*) และค่าความเป็นสีเหลือง (b^*)

2.3.2 การวิเคราะห์ปริมาณโปรตีน

วิเคราะห์ปริมาณโปรตีนในผงโปรตีนสกัดโดยใช้วิธีการ Kjeldahl (AOAC, 1995) โดยใช้ Nitrogen conversion factor เท่ากับ 6.25

2.3.3 การวิเคราะห์การกระจายของขนาดอนุภาค

วิเคราะห์การกระจายตัวของขนาดอนุภาคโดยใช้เครื่อง Lazer Scattering Particle Size Distribution Analyzer (Horiba รุ่น LA950, Japan) วิเคราะห์ในหน่วยไมโครเมตร และแสดงผลออกมาในรูปของกราฟการกระจายตัวของขนาดอนุภาค

2.3.4 การวิเคราะห์องค์ประกอบของกรดอะมิโน

วิเคราะห์องค์ประกอบของกรดอะมิโนตามวิธีการของ Sompongse, Morioka, & Itoh (2003) โดยชั่งน้ำหนักผงโปรตีน 0.008 กรัม ไฮโดรไลซ์ด้วยกรดไฮโดรคลอลิกเข้มข้น 6 โมลาร์ ที่อุณหภูมิ 150 องศาเซลเซียส เป็นเวลา 1 ชั่วโมง วิเคราะห์องค์ประกอบของกรดอะมิโนในตัวอย่างโดยใช้เครื่อง Amino acid analyzer (Hitachi รุ่น L-8500, Japan)

2.3.5 การวิเคราะห์ความสามารถในการละลาย (Solubility)

วิเคราะห์ความสามารถในการละลายของโปรตีน ตามวิธีการของ Zhao, Vazquez-Gutierrez, Johansson, Landberg, & Langton (2016) ที่มีการดัดแปลงส่วน โดยกระจายตัวอย่างโปรตีนลงในน้ำกลั่น ให้มีความเข้มข้นร้อยละ 10 น้ำหนักต่อปริมาตร แล้วปรับ pH เป็น 3, 4, 5, 7 และ 9 (โดยการเติม HCl 1 โมลาร์ หรือ NaOH 2.5 โมลาร์) จากนั้นคนสารแขวนลอยเป็นเวลา 30 นาที และนำไปบีบเหวี่ยงที่ความเร็ว 2600 g เป็นเวลา 30 นาที่ นำส่วนใส่ไปวิเคราะห์ปริมาณโปรตีนโดยใช้วิธีของ Bradford (1976) ตามวิธีการในข้อ 2.2.2 และคำนวณดัชนีความสามารถในการละลายของโปรตีน (Protein Solubility Index: PSI) จากสูตร

ความสามารถในการละลายของโปรตีน (ร้อยละ) = ปริมาณโปรตีนที่ละลาย/ปริมาณโปรตีนทั้งหมด $\times 100$

2.3.6 การวิเคราะห์ความสามารถในการอุ้มน้ำ (Water holding capacity)

วิเคราะห์ความสามารถในการอุ้มน้ำของโปรตีน ตามวิธีการของ Zhao, Vazquez- Gutierrez, Johansson, Landberg, & Langton (2016) โดยกระจายตัวอย่างโปรตีน 0.5 กรัม ในน้ำกลั่น 10 มิลลิลิตร และคนให้เข้ากันโดยใช้เครื่องเขย่าสารเป็นเวลา 3 นาที จากนั้นนำไปบีบเหวี่ยงที่ความเร็ว

2600 g เป็นเวลา 15 นาที ชั่งน้ำหนักต่อ กอน และใช้น้ำหนักที่ต่างกันในการคำนวณความสามารถในการอุ้มน้ำ รายงานผลในหน่วยของน้ำหนักเป็นกรัม ของน้ำที่ถูกดูดซับต่อน้ำหนักเป็นกรัมของตัวอย่าง

2.3.7 การวิเคราะห์ความสามารถในการอุ้มน้ำมัน (Oil holding capacity)

วิเคราะห์ความสามารถในการอุ้มน้ำมัน ตามวิธี ก า ร ข օ ง Zhao, Vazquez- Gutierrez, Johansson, Landberg, & Langton (2016) ที่มีการดัดแปลงส่วน โดยผสมตัวอย่างโปรตีน 0.5 กรัม ในน้ำมันพีช 10 มิลลิลิตร และผสมให้เข้ากันเป็นเวลา 3 นาที ในเครื่องเขย่าสาร จากนั้นนำไปบีบเหวี่ยงที่ความเร็ว 2600 g เป็นเวลา 30 นาที ชั่งน้ำหนักต่อ กอน และใช้ความแตกต่างของน้ำหนักในการคำนวณความสามารถในการอุ้มน้ำมัน รายงานผลในหน่วยของน้ำหนักเป็นกรัมของน้ำมันที่ถูกดูดซับต่อน้ำหนักเป็นกรัมของตัวอย่าง

2.3.8 การวิเคราะห์สมบัติต้านฟอง (Foaming properties)

วิเคราะห์ความสามารถในการทำให้เกิดฟอง (Foaming capacity) และความคงตัวของฟอง (Foaming stability) ตามวิธีการของ Zielinska, Karas, & Baraniak (2018) ที่มีการดัดแปลงส่วนโดยผสมตัวอย่างโปรตีน 0.2 กรัม ในน้ำกลั่น 20 มิลลิลิตร ทำให้เป็นเนื้อเดียวกันโดยใช้เครื่องผสมไฟฟ์ เนื้อเดียวกัน (high speed homogenizer; Nissei รุ่น AM – 8, Japan) เป็นเวลา 2 นาที จากนั้นเคลื่อนย้ายฟองของตัวอย่างที่ได้ไปยังกระบอกตวง และอ่านปริมาตรของฟองที่เวลาเริ่มต้น และหลังจากผ่านไป 30 นาที ภายหลังการเกิดฟอง คำนวณความสามารถในการทำให้เกิดฟอง และความคงตัวของฟองที่เกิดขึ้นจากสูตร

ความสามารถในการทำให้เกิดฟอง (ร้อยละ)

$$= [(V_0 - V)/V] \times 100$$

ความคงตัวของฟอง (ร้อยละ)

$$= (V_{30}/V_0) \times 100$$

เมื่อ V คือ ปริมาตรก่อนเกิดฟอง (มิลลิลิตร)

V_0 คือ ปริมาตรหลังเกิดฟอง (มิลลิลิตร)

V_{30} คือ ปริมาตรหลังตั้งทิ้งไว้ 30 นาที (มิลลิลิตร)

2.3.9 การวิเคราะห์สมบัติทางอิมลชัน (Emulsifying properties)

วิเคราะห์กิจกรรมทางอิมลชัน (Emulsion activity) ของโปรตีนสักด้าจากดักแด้หนอนไหม ตามวิธีการของ Zielinska, Karas, & Baraniak (2018) ที่มีการตัดแบบบางส่วน โดยเตรียมสารละลายโปรตีนโดยการกระจายตัวอย่างโปรตีนในน้ำกลันให้ได้ความเข้มข้นร้อยละ 1 น้ำหนักต่อปริมาตร และปรับ pH เป็น 3, 5, 7, 9 และ 11 (โดยการเติม HCl 1 โมลาร์ หรือ NaOH 2.5 โมลาร์) จากนั้นนำสารละลายโปรตีน 50 มิลลิลิตร ผสมกับน้ำมันพีช 50 มิลลิลิตร ทำให้เป็นเนื้อเดียวกันเป็นเวลา 1 นาที

จากนั้นนำไปปั่นให้วิ่งที่ความเร็ว 3000 g เป็นเวลา 5 นาที และอ่านปริมาตรของสารในแต่ละชั้นคำนวณความสามารถในการทำให้เกิดอิมลชันจากสูตร

$$\text{กิจกรรมทางอิมลชัน (EA) (\%)} = (V_e/V) \times 100$$

เมื่อ V คือ ปริมาตรในหลอดทดลองทั้งหมด

V_e คือ ปริมาตรของส่วนที่เกิดอิมลชัน

2.4 การวางแผนการทดลอง และการวิเคราะห์ทางสถิติ

วางแผนการทดลองแบบบล็อกสุ่มสมบูรณ์ (Randomized Complete Block Designs) ทดลอง 3 ชั้น วิเคราะห์ความแปรปรวน ANOVA (Analysis of Variance) ที่ระดับความเชื่อมั่นร้อยละ 95 และวิเคราะห์ความแตกต่างของค่าเฉลี่ยด้วยวิธี Duncan's New Multiple Range Test โดยใช้โปรแกรมคอมพิวเตอร์สำหรับรูป

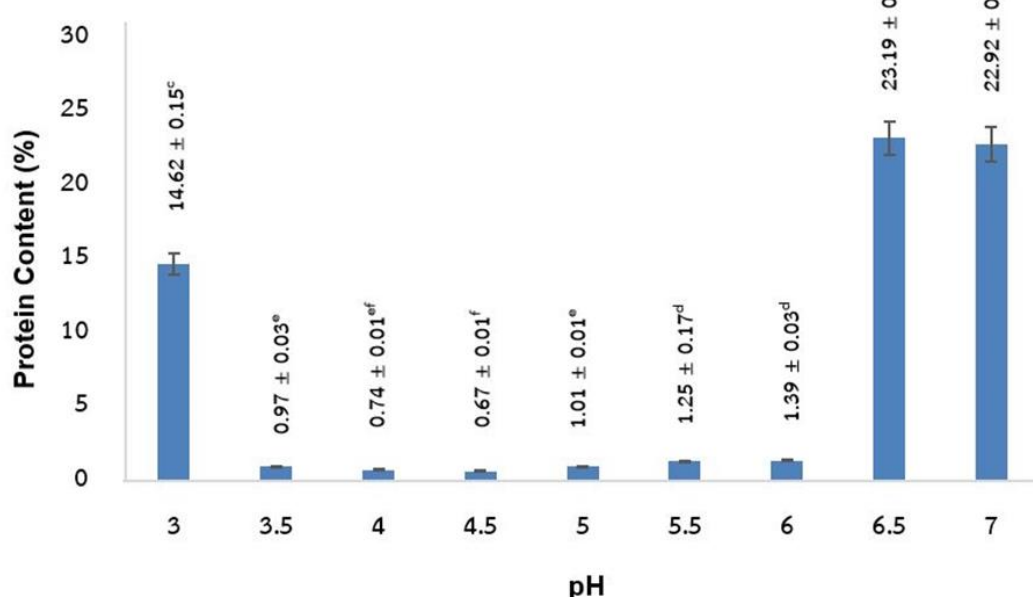


Figure 1 Protein content in supernatant from silkworm protein precipitation at varies pH

3. ผลการวิจัยและวิเคราะห์ผล

3.1 การศึกษาค่า pH ที่เหมาะสมในการสกัดโปรตีนจากดักแด้หนอนไหม

เมื่อนำดักแด้หนอนไหมที่ผ่านการสกัดไขมันมาศึกษาหาค่า pH ที่เหมาะสมในการสกัดโปรตีนจากดักแด้หนอนไหม พบร่วมกันว่า เมื่อปรับ pH ให้มีค่าเท่ากับ 4, 4.5 และ 5 โปรตีนจะเกิดการแตกตะกรอนออกมากตามลำดับ โดยสังเกตเห็นสารละลายมีความชุ่นมากกว่าการปรับ pH ที่ค่าอ่อนอย่างเห็นได้ชัด เมื่อนำส่วนไส้ที่ได้หลังจากการบีบเนื้อเยื่อไปวิเคราะห์ปริมาณโปรตีน พบร่วมกันว่าปริมาณโปรตีนในส่วนไส้ที่ได้จากการแตกตะกรอนที่ pH 4.5 มีค่าน้อยที่สุด (Figure 1) แสดงว่าเป็นค่า pH ที่ทำให้เกิดตะกรอนของโปรตีนมากที่สุด ดังนั้นจึงเลือกใช้ค่า pH ดังกล่าว

ในการแตกตะกรอนโปรตีนจากดักแด้หนอนไหมในขั้นตอนต่อไป

3.2 สมบัติทางเคมีกายภาพและสมบัติเชิงฟื้นฟูที่ของโปรตีนสกัดจากดักแด้หนอนไหม

3.2.1 ค่าสีและปริมาณโปรตีน

โปรตีนสกัดจากดักแด้หนอนไหมที่ได้มีค่า L* เท่ากับ 58.04 ± 0.47 ค่า a* เท่ากับ 9.71 ± 1.31 และมีค่า b* เท่ากับ 38.58 ± 1.28 ทำให้โปรตีนสกัดที่ได้มีสีออกไปทางโทนสีเหลืองส้ม และจากการวิเคราะห์ปริมาณโปรตีนในผงโปรตีนที่สกัดได้จากดักแด้หนอนไหม พบร่วมกันว่าปริมาณโปรตีนเท่ากับร้อยละ 50.37 ± 0.72 (Table 2) ซึ่งมากกว่าโปรตีนที่สกัดจากดักแด้หนอนไหมที่ละลายน้ำได้ งานวิจัยของ Chatsuwan, Puechkamut, & Pinsirodom (2018) ที่มีปริมาณโปรตีนเพียงร้อยละ 6.04 เท่านั้น

Table 2 L*, a*, b* and protein content of silkworm pupae protein

Sample	Hunter			Protein Content (%)
	L*	a*	b*	
Silkworm pupae protein	58.04 ± 0.47	9.71 ± 1.31	38.58 ± 1.28	50.37 ± 0.72

Mean \pm SD ($n = 3$)

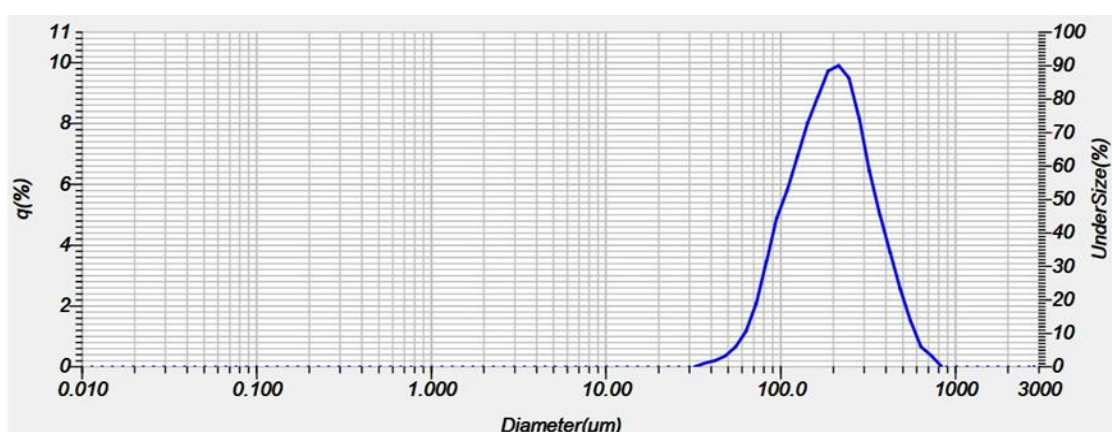


Figure 2 Size distribution of silkworm pupae protein

3.2.2 การกระจายตัวของขนาดอนุภาค

จาก Figure 2 แสดงการกระจายตัวของขนาดอนุภาคของโปรตีนสกัดจากดักแด้หนอนไหมซึ่งเห็นได้ว่าอนุภาคของผงโปรตีนมีขนาดอยู่ในช่วง 30 ถึง 980 ไมโครเมตร และอนุภาคที่มีปริมาณมากที่สุด จะอยู่ในช่วง 200 ไมโครเมตร ทำให้เห็นว่าผงโปรตีนสกัดจากดักแด้หนอนไหมมีขนาดอนุภาคที่หลากหลาย และไม่สม่ำเสมอ ซึ่งอาจส่งผลต่อสมบัติเชิงหน้าที่ของโปรตีนสกัดจากดักแด้หนอนไหมได้ เช่น เมื่อนำไปใช้ในผลิตภัณฑ์อาหาร ความไม่สม่ำเสมอของขนาดอนุภาคจะส่งผลต่อกุณภาพด้านเนื้อสัมผัสของอาหารได้

3.2.3 องค์ประกอบของกรดอะมิโน

จากการวิเคราะห์องค์ประกอบของกรดอะมิโนในโปรตีนสกัดจากดักแด้หนอนไหม พบว่าโปรตีนสกัดจากดักแด้หนอนไหม มีปริมาณกรดอะมิโนที่ไม่มีข้าว หรือกรดอะมิโนที่เป็นไฮดร็อฟอฟิกทั้งหมดเท่ากับ 438 หน่วยต่อ 1000 หน่วย ซึ่งทำให้โปรตีนดักแด้หนอนไหมมีส่วนที่ไม่ชอบน้ำค่อนข้างสูง ส่วนปริมาณกรดอะมิโนที่มีข้าว หรือกรดอะมิโนที่เป็นไฮดร็อฟลิก เท่ากับ 425 หน่วยต่อ 1000 หน่วย โดยกรดอะมิโนที่มีปริมาณมากที่สุด ได้แก่ แอสพาราเจิน และกลูต้ามีน (Table 3) ซึ่งกรดอะมิโนดังกล่าวอยู่ในกลุ่มที่ช่วยเพิ่มรสชาติและกลิ่นรสของผลิตภัณฑ์อาหาร จึงสามารถนำไปเป็นสารปรุงแต่งในผลิตภัณฑ์อาหารได้ ซึ่งผลที่ได้ตรงกับองค์ประกอบของกรดอะมิโนในโปรตีนสกัดจากดักแด้หนอนไหมที่ละลายน้ำได้ Chatsuwan, Puechkamut, & Pinsirodom (2018) ที่พบกรดกลูตามิคในปริมาณสูงที่สุด เช่นกัน

3.2.4 ความสามารถในการละลาย

จากการวิเคราะห์ความสามารถในการละลายของโปรตีนสกัดจากดักแด้หนอนไหม เทียบกับ

โปรตีนทางการค้า ได้แก่ เวย์โปรตีนเข้มข้น และไข่ขาว พบว่าโปรตีนสกัดจากดักแด้หนอนไหม มีความสามารถในการละลายที่ต่ำที่สุด ในช่วง pH 4 – 5 (Figure 3) ซึ่งช่วงดังกล่าวเป็นช่วง pH เดียวกับค่าที่ได้ในการหา pH ที่เหมาะสมในการตกตะกอนโปรตีนดักแด้หนอนไหม

Table 3 Amino acid composition of silkworm pupae protein

Amino acid	Residues/1000 Residues
Asp	136
Thr	51
Ser	62
Glu	122
Gly	70
Ala	70
Val	54
Cys	2
Met	27
Ile	39
Leu	80
Tyr	52
Phe	49
Lys	71
His	16
Arg	46
Pro	49
Total	1000
Non-Polar Amino Acids	438
Polar Amino Acids	425
Others Amino Acids	137

Mean from calculation per 1000 units (n = 3)

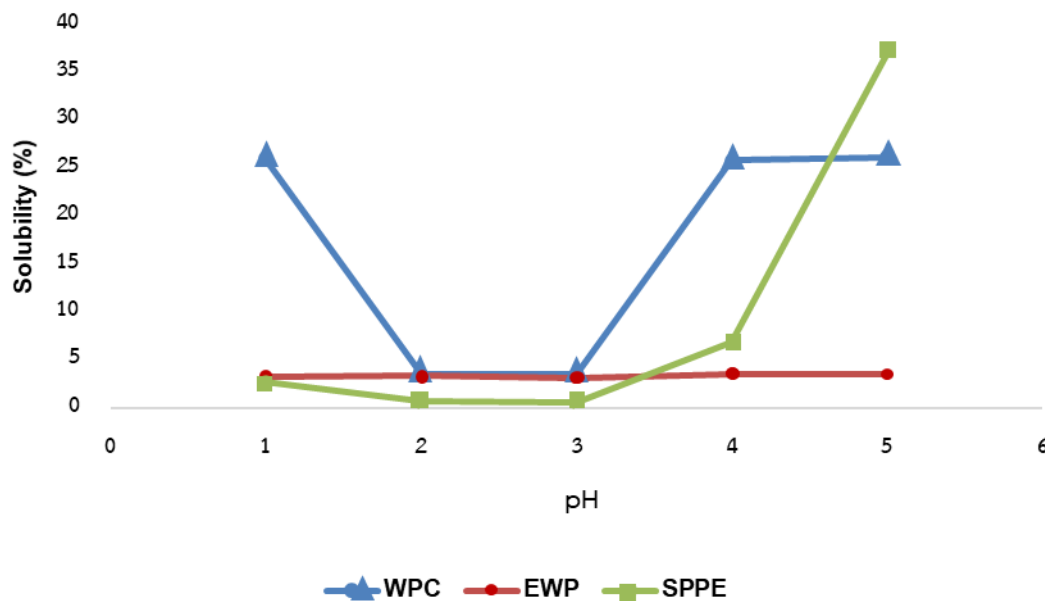


Figure 3 Solubility of silkworm pupae protein (SPPE), Whey protein concentrate (WPC) and egg white powder (EWP) at varies pH

ดังนั้น จุด pI ของโปรตีนสักดัดจากดักแด้หนอนไหม จึงอยู่ในช่วงดังกล่าว ซึ่งใกล้เคียงกับผลที่ได้จากการวิจัยของ Chatsuwan, Puechkamut, & Pinsirodom (2018) ที่พบว่าความสามารถในการละลายที่ต่ำที่สุดของโปรตีนสักดัดจากดักแด้หนอนไหมที่ละลายน้ำได้อยู่ในช่วง pH 3 – 4 นอกจากนั้น Felix et al. (2020) รายงานค่าความสามารถในการละลายและค่าศักย์ชีต้าของโปรตีนดักแด้หนอนไหม เข้มข้น ซึ่งพบว่าโปรตีนดักแด้หนอนไหมเข้มข้นมีความสามารถในการละลายต่ำที่สุดในช่วง pH 5 - 6 แต่เมื่อทำการวิเคราะห์ค่าศักย์ชีต้าที่บ่งบอกถึงประจุสุทธิบันโนเมเลกุลของสาร พบร่วมที่ pH 4 โปรตีนดักแด้หนอนไหมเข้มข้นมีประจุสุทธิเท่ากับ 0 ดังนั้น หากพิจารณาจากประจุสุทธิบันโนเมเลกุลของโปรตีน จุด pI ของโปรตีนดักแด้หนอนไหมเข้มข้นจะอยู่ที่ pH 4 ซึ่งใกล้เคียงกับผลที่ได้ในงานวิจัยนี้ การที่ค่าที่ได้ไม่เท่ากัน อาจเกิดจากการใช้วิธีการและสารเคมี

ในการสักดัดที่แตกต่างกัน รวมถึงวิธีการวิเคราะห์ความสามารถในการละลายที่แตกต่างกันด้วย นอกจากนั้นในงานวิจัยของ Wang et al. (2011) ยังมีการรายงานประเภทของโปรตีนที่พบได้ในดักแด้หนอนไหม (*Bombyx mori* L.) ซึ่งประกอบไปด้วย albumin ร้อยละ 27.24, glutelin ร้อยละ 23.72, prolamin 11.82 และ globulin 4.21 ซึ่งการมีองค์ประกอบของโปรตีนประเภท glutelin และ prolamin ในปริมาณมาก อาจส่งผลให้โปรตีนสักดัดจากดักแด้หนอนไหมมีความสามารถในการละลายที่ pH ที่เป็นกรด - กลาง ต่ำ แต่ในสภาวะที่เป็นเบส โปรตีนสักดัดจากดักแด้หนอนไหมจะมีความสามารถในการละลายที่สูงขึ้น เนื่องจากโปรตีน glutelin และ prolamin ละลายได้ดีในสภาวะที่เป็นเบส ซึ่งจากผลที่ได้ในงานวิจัยนี้ แสดงให้เห็นว่าเมื่อปรับค่า pH ของระบบให้มากกว่า 5 (Figure 3) โปรตีนสักดัดจากดักแด้หนอนไหม มีความสามารถในการละลาย

ที่เพิ่มสูงขึ้น และเพิ่มขึ้นอย่างมากเมื่อปรับค่า pH ให้เท่ากับ 9 ดังนั้น ผลการวิเคราะห์ความสามารถในการละลาย จึงแสดงถึงความสามารถในการละลายของโปรตีนในตักแด็หนอนไหม ที่มีอัตราส่วนของโปรตีนที่สามารถละลายได้ดีในสภาวะที่เป็นเบสอยู่มาก (glutelin และ prolamin) ซึ่งหากจะนำโปรตีนสกัดจากตักแด็หนอนไหมไปใช้เป็นส่วนผสมในผลิตภัณฑ์อาหารอาจมีการปรับปรุงโดย

การย่อยด้วยเอนไซม์ทำเป็นโปรตีนไอลอเรลเลสต เพื่อให้มีความสามารถในการละลายได้ดีในช่วง pH ที่ต่ำกว่านี้ จึงจะสามารถนำไปประยุกต์ใช้ได้สะดวกมากขึ้น เช่น เวย์โปรตีนเข้มข้นที่มีความสามารถในการละลายที่ดีในช่วง pH 3-4 และสามารถนำไปประยุกต์ใช้ในผลิตภัณฑ์อาหารที่มีความหลากหลายมากขึ้น

Table 4 Water holding capacity and oil holding capacity of silkworm pupae protein, whey protein concentrate and egg white powder.

Samples	Water Holding Capacity (ml/g.protein)	Oil Holding Capacity ^{ns} (ml/g.protein)
Whey protein concentrate	0.14 ^b ± 0.01	2.26 ± 0.42
Egg white powder	ND	2.30 ± 0.78
Silkworm pupae protein	1.72 ^a ± 0.141	2.03 ± 0.32

Mean ± SD (n = 3); ns = non-significant difference (p > 0.05), ND = Cannot determine.

Table 5 Foaming properties of silkworm pupae protein, whey protein concentrate and egg white powder

Samples	Foaming Capability (%)	Foam Stability (%)
Whey protein concentrate	55.00 ^b ± 5.77	89.70 ^c ± 3.39
Egg white powder	74.17 ^a ± 3.63	76.25 ^b ± 0.52
Silkworm pupae protein	6.67 ^c ± 2.83	96.37 ^a ± 1.77

Mean ± SD (n = 3); ^{a, b, c} Different superscripts in the same column indicate significant differences (p < 0.05)

□ 0.05)

3.2.5 ความสามารถในการอุ้มน้ำและน้ำมัน

จากการวิเคราะห์ความสามารถในการอุ้มน้ำและน้ำมัน ของโปรตีนสกัดจากตักแด็หนอนไหม เทียบกับเวย์โปรตีนและไข่ขาวผง พบว่าโปรตีนสกัดจากตักแด็หนอนไหม มีความสามารถในการอุ้มน้ำเท่ากับ 1.72 ± 0.141 มิลลิลิตรต่อกรัมของโปรตีน ซึ่งมากกว่าเวย์โปรตีนเข้มข้น (0.14 ± 0.01) ส่วน

ความสามารถในการอุ้มน้ำของโปรตีนสกัดจากตักแด็หนอนไหม เท่ากับ 2.03 ± 0.32 กรัมต่อกรัมของโปรตีน ซึ่งไม่แตกต่างอย่างมีนัยสำคัญกับโปรตีนทางการค้าทั้งสองชนิด ($p > 0.05$) (Table 4) โดยโปรตีนสกัดจากตักแด็หนอนไหม มีความสามารถในการอุ้มน้ำมากกว่า ซึ่งอาจเกิดจากการมี

ปริมาณของกรดอะมิโนที่เป็นไฮโดรฟอฟบิกมากกว่า (438 หน่วยต่อ 1000 หน่วย)

ในส่วนของไข่ขาวผง ไม่สามารถหาค่าความสามารถในการอุ้มน้ำได้ เนื่องจากในระหว่างการผสมผงไข่ขาวกับน้ำ ไข่ขาวจะเกิดเป็นโฟม เมื่อนำสารละลายไปปั่นเหวี่ยงและแยกส่วนใส่ออก ส่วนที่เป็นโฟมจะถูกแยกออกไปปั่น ดังนั้นน้ำหนักของตะกอนภายหลังการแยกส่วนใส่ออกจึงมีค่าน้อยกว่า น้ำหนักของผง ไข่ขาวเริ่มต้น จึงไม่สามารถคำนวณค่าความสามารถในการอุ้มน้ำได้

3.2.6 สมบัติด้านฟอง

จากการวิเคราะห์ความสามารถในการทำให้เกิดโฟมและความคงตัวของโฟมที่เกิดขึ้นของโปรตีนสกัดจากดักแด้หนอนไหม เทียบกับเวียร์โปรตีนและไข่ขาวผง พบว่า โปรตีนสกัดจากดักแด้หนอนไหมมีความสามารถในการทำให้เกิดโฟมเท่ากับร้อยละ 6.67 ± 2.83 (Table 5) ซึ่งมีค่าต่ำที่สุด เมื่อเทียบกับเวียร์โปรตีน

เข้มข้น (55.00 ± 5.77) และไข่ขาวผง (74.17 ± 3.63) เช่นเดียวกับในการศึกษาความสามารถในการทำให้เกิดโฟมของโปรตีนสกัดจากดักแด้หนอนไหมที่ละลายน้ำได้ ที่มีร้อยละความสามารถในการทำให้เกิดโฟมเพียง 9.29 ± 1.01 (Chatsuwan, Puechkamut, & Pinsirodom, 2018) ซึ่งอาจเกิดจากการที่โปรตีนสกัดจากดักแด้หนอนไหมมีขนาดอนุภาคที่ไม่สม่ำเสมอ (Figure 3) ส่งผลให้การเคลื่อนที่ไปล้อมรอบฟองอากาศทำได้ไม่ดี อีกทั้งขนาดอนุภาคที่ไม่สม่ำเสมอ ยังทำให้เกิดการยุบตัวของโครงสร้างพิล์มโปรตีนได้ง่าย (Chatsuwan, Puechkamut, & Pinsirodom, 2018) นอกจากนี้ค่าที่ได้ยังใกล้เคียงกับในการศึกษาความสามารถในการทำให้เกิดโฟมของโปรตีนจากแมลงชนิดอื่นซึ่ง Omotoso (2006) วัดค่าร้อยละความสามารถในการทำให้เกิดโฟมของโปรตีนจากหนอนผีเสื้อกลางคืนจักรพรรดิ (*Cirina forda*) ได้เพียง ร้อยละ 7.1 ± 0.20 เท่านั้น

Table 6 Emulsion activity of silkworm pupae protein, whey protein concentrate and egg white protein at varies pH value

Samples	Emulsion Activity (%)				
	pH 3	pH 5	pH 7	pH 9	pH 11
Whey protein	$50.56^{b,A} \pm 1.73$	$56.11^{a,A} \pm 2.41$	$49.86^{b,A} \pm 2.84$	$51.53^{b,A} \pm 1.68$	$48.61^{b,B} \pm 3.47$
Egg white	$55.97^{ab,A} \pm 4.68$	$57.22^{a,A} \pm 2.68$	$55.56^{ab,A} \pm 2.41$	$52.78^{b,A} \pm 0.48$	$55.83^{b,A} \pm 1.44$
Silkworm pupae protein	Cannot form emulsion	Cannot form emulsion	Cannot form emulsion	$53.61^{a,A} \pm 1.73$	$54.44^{a,A} \pm 3.76$

Mean \pm SD (n = 3)

A, B, C Different superscripts in the same column indicate significant differences ($p \leq 0.05$).

a, b, c Different superscripts in the same row indicate significant differences ($p \leq 0.05$).

ในส่วนของความคงตัวของโพมที่เกิดขึ้น จาก Table 5 พบว่าโพมที่เกิดขึ้นจากการใช้โปรตีนสกัดจากดักแด้หนอนไหม มีความคงตัวเท่ากับร้อยละ 96.37 ± 1.77 ซึ่งสูงกว่าโพมที่เกิดจากการใช้เวย์โปรตีนเข้มข้น (89.70 ± 3.39) และไข่ขาวผง (76.25 ± 0.52) อย่างมีนัยสำคัญ ($p < 0.05$) การที่โพมที่เกิดจากการใช้โปรตีนสกัดจากดักแด้หนอนไหม มีความคงตัวสูง อาจเกิดจากการมีการดอมิโนที่มีข้าวและไม่มีข้าวในอัตราส่วนที่ใกล้เคียงกัน (Table 3) จึงสามารถช่วยเพิ่มอันตรายริยา率为ห่วงโมเลกุลของโปรตีนกับโปรตีน ที่จะช่วยเพิ่มการยึดเกาะกันตามธรรมชาติของพิล์ม โปรตีนที่ล้อมรอบฟองอากาศอยู่ จึงช่วยเพิ่มความยืดหยุ่นและความคงตัวของผ้าพิล์มได้ (Johnson & Zabik, 1981)

3.2.7 สมบัติทางอิมลัชัน

จากการวิเคราะห์กิจกรรมทางอิมลัชันของโปรตีนสกัดจากดักแด้หนอนไหม พบว่า ที่ค่า pH 3, 5 และ 7 โปรตีนสกัดจากดักแด้หนอนไหม ไม่สามารถทำให้เกิดอิมลัชันระหว่างน้ำและน้ำมันได้ (Table 6) เนื่องจากค่า pH ดังกล่าว เป็นค่าที่ใกล้เคียงกับค่า pI ของโปรตีนสกัดจากดักแด้หนอนไหม (pI เท่ากับ 4.5) เช่นเดียวกันกับผลที่ได้จากงานวิจัยของ Biasutti, Vieira & Capobiango (2007) ที่พบว่าโปรตีนเชซินที่ปรับค่า pH ให้ใกล้เคียงกับค่า pI มีความสามารถในการละลายที่ต่ำและมีความสามารถในการทำให้เกิดอิมลัชันที่ต่ำด้วยเนื่องจากค่า pH ที่ใกล้เคียงกับค่า pI ของโปรตีนทำให้โปรตีนมีความสามารถในการละลายและการกระจายตัวที่ต่ำ จึงไม่สามารถแพร่ไปยังพื้นผิว รอยต่อระหว่างน้ำและน้ำมันได้อย่างเพียงพอ ทำให้ความสามารถในการทำให้เกิดอิมลัชันต่ำตามไปด้วย แต่เมื่อเพิ่ม pH ของสารละลายโปรตีนให้เท่ากับ 9 และ 11 โปรตีนสกัดจากดักแด้หนอนไหม สามารถทำให้เกิดอิมลัชันระหว่างน้ำและน้ำมันได้ (ค่ากิจกรรมทางอิมลัชัน เท่ากับ 53.61 ± 1.73 และ

54.44 ± 3.76 ตามลำดับ) ซึ่งอาจเกิดจากการที่ในช่วง pH ดังกล่าว โปรตีนสกัดจากดักแด้หนอนไหม มีความสามารถในการละลายสูง (Figure 3) ซึ่ง เมื่อโมเลกุลของโปรตีนเกิดการละลายได้ จะมีขนาดอนุภาคที่เล็กลงและมีความสามารถในการกระจายตัวที่ดีตามไปด้วย เช่นเดียวกันกับในงานวิจัยของ Zhao, Vazquez- Gutierrez, Johansson, Landberg, & Langton (2016) ที่วิเคราะห์ผลของ pH ต่อสมบัติทางวิทยาศาสตร์ของโปรตีนสกัดจากหนอนนก (*Tenebrio molitor*) ซึ่งพบว่า ที่ pH ที่เป็นเบส โปรตีนสกัดจากหนอนนก เกิดการคลายตัวและมีขนาดอนุภาคเล็กลง รวมถึงมีค่า Storage modulus (G') ของการกระจายตัวสูงกว่าที่ pH ที่เป็นกลาง 2-3 เท่า นอกจากนั้นการที่ระบบโปรตีนที่มีค่า pH อยู่ในช่วงที่เป็นเบส โมเลกุลของโปรตีนดักแด้หนอนไหมเข้มข้น ยังมีขนาดเล็กกว่าในสภาวะที่เป็นกรด ส่งผลให้โมเลกุลของโปรตีนมีความสามารถในการแพร่กระจายและถูกดูดซับไปยังบริเวณพื้นผิวรอยต่อ ได้รวดเร็วกว่าที่ pH ในช่วงที่เป็นกรด - กลาง (Felix et al., 2020) ซึ่งคุณสมบัติดังกล่าวถือเป็นสิ่งสำคัญที่จะส่งผลต่อความสามารถในการทำให้เกิดอิมลัชันของระบบโปรตีน (Kinsella, 1982)

เมื่อพิจารณาค่ากิจกรรมทางอิมลัชันของโปรตีนทั้งสามชนิด พบว่า ที่ pH 9 โปรตีนสกัดจากดักแด้หนอนไหม มีค่ากิจกรรมทางอิมลัชันไม่แตกต่างจากเวย์โปรตีนเข้มข้นและไข่ขาวผงอย่างมีนัยสำคัญ ($p > 0.05$) แต่เมื่อปรับ pH ให้เท่ากับ 11 โปรตีนสกัดจากดักแด้หนอนไหม มีค่ากิจกรรมทางอิมลัชันสูงกว่าเวย์โปรตีนเข้มข้นอย่างมีนัยสำคัญ ($p < 0.05$) (Table 6) แต่ไม่แตกต่างอย่างมีนัยสำคัญ กับไข่ขาวผง

4. สรุป

ค่า pH ที่เหมาะสมสำหรับการสกัดโปรตีนจากดักแด้ห่อนไหม คือ pH 4.5 เมื่อนำไปศึกษาสมบัติเชิงหน้าที่เปรียบเทียบกับโปรตีนทางการค้าสองชนิด ได้แก่ เวย์โปรตีนเข้มข้นและไข่ขาวผงพบว่า โปรตีนสกัดจากดักแด้ห่อนไหม มีความสามารถในการทำให้เกิดฟอฟม์ต่ำกว่าเวียร์โปรตีนเข้มข้นและไข่ขาวผง แต่มีความคงตัวของฟอฟม์ที่เกิดขึ้นสูงกว่า โปรตีนทางการค้าทั้งสองชนิด และเมื่อปรับ pH ของระบบโปรตีนดักแด้ห่อนไหม ให้อยู่ในสภาพที่เป็นเบส โปรตีนสกัดจากดักแด้ห่อนไหมจะมีความสามารถในการละลายและสมบัติในการทำให้เกิดอิมัลชันที่ดี แต่เมื่อสารละลายโปรตีนอยู่ในสภาพที่เป็นกรด (pH 3 - 5) เวียร์โปรตีนและไข่ขาวผง สามารถแสดงความสามารถในการทำให้เกิดอิมัลชันได้ ในขณะที่ โปรตีนสกัดจากดักแด้ห่อนไหม มีความสามารถในการละลายเพิ่มสูงขึ้นเล็กน้อยในช่วง pH 4 แต่ยังไม่แสดงความสามารถในการทำให้เกิดอิมัลชันได้ ซึ่งอาจเกิดจากการที่โปรตีนดักแด้ห่อนไหมในสารละลาย ณ ค่า pH ดังกล่าว ยังมีการคลายตัวที่ไม่มากพอที่จะเห็นได้ นำโปรตีนดักแด้ห่อนไหมไปผลิตเป็นโปรตีนไอก็อโรไลสे�ต จะช่วยพัฒนาสมบัติเชิงหน้าที่โดยเฉพาะความสามารถในการละลายให้ดีขึ้น เพื่อจะได้นำไปใช้ในผลิตภัณฑ์อาหารได้อย่างสะดวก และใช้ได้กับผลิตภัณฑ์ที่มีหลักหลายมากขึ้น

5. กิตติกรรมประกาศ

ขอขอบคุณสาขาวิชาศาสตร์และเทคโนโลยีการอาหาร คณะวิทยาศาสตร์และเทคโนโลยีมหาวิทยาลัยธรรมศาสตร์ และทุนบัณฑิตเรียนดีประจำปี 2561 ตามสัญญาเลขที่ 19/2561

6. References

- AOAC. (1995). Official Methods of Association of Official Analytical Chemist. 16th edition, Washington DC: Association of Analytical Chemist.
- Armstrong, W. D. (2009). Global demand for animal protein and its implications for the feed industry. Swine Nutrition Conference, 10th September, 2009. Indiana, USA.
- Biasutti, R. A. E., Vieira, R. C. & Capobiango, M. (2007). Study of some functional properties of casein: Effect of pH and trypic hydrolysis. *International Journal of Food Properties*, 10(1), 173 – 183.
- Bradford, M. M. (1976). A rapid and sensitive method for quantitation of microgram quantities of protein utilizing the principle of protein-dye binding. *Analytical Biochemistry*, 72, 248–254.
- Chatsuwan, N., Puechkamut, Y. & Pinsirodom, P. (2018). Characterization, Functionality and Antioxidant activity of water-soluble protein extracted from *Bombyx mori* Linn. *Current Applied Science and Technology*, 18, 83–96.
- Felix, M., Bascon, C., Cermeno, M., FitzGerald, J. R., Fuente, de la J. & Carrera-Sanchez, C., (2020). Interfacial/foaming properties and antioxidant activity of silkworm (*Bombyx mori*) pupae protein concentrate. *Food Hydrocolloids*, 103, 1–10.
- Johnson, T. M. & Zabik, M. E. (1981). Ultrastructural examination of egg albumen

- protein foams, *Journal of Food Science*, 46, 1237–1240.
- Joopawang, P. & Sompongse, W. (2020). Effect of Pressure and Temperature on Fat Removal of Silkworm Pupae (*Bombyx mori* L.) by Supercritical Carbon Dioxide Extraction. Proceeding of The 22nd Food Innovation Asia Conference 2020 (FIAC 2020), 18–19th June 2020, pp.83 – 89. BITEC, Thailand.
- Kim, H. W., Setyabrata, D. Lee, Y. J., Jones, O. G. & Kim, B. H. Y. (2016) Pre-treated mealworm larvae and silkworm pupae as a novel protein ingredient in emulsion sausage. *Innovative Food Science and Emerging Technologies*, 38, 116–123.
- Kinsella, J. E. (1982). Protein structure and functional properties: Emulsion and flavor binding effect, In Food Protein Deterioration, Washington, DC: American Chemical Society, pp.301–306.
- Omotoso, O. T. (2006). Nutritional quality, functional properties and antinutrient compositions of the larva of *Cirina forda* (Westwood) (Lepidoptera: Saturniidae). *Journal of Zhejiang University Science*, B7, 51–55.
- Osasona, A. I. & Olaofe, O. (2010). Nutritional and functional properties of *Cirina forda* larva from Ado- Ekiti, Nigeria. *African Journal of Food Science*, 4, 775–777.
- Rumpold, B. A. & Schluter, O. K. (2013). Nutritional composition and safety aspects of edible insect. *Molecular Nutrition and Food Research*, 57(5), 802–823.
- Sompongse, W., Morioka, K. & Itoh, Y. (2003) Comparison of Amino Acid Composition among Various Surimis and Washed Meats. *Research Reports of Kochi University, Agriculture*, 52, 33–38.
- Wang, W., Wang, N., Zhou, Y., Zhang, Y., Xu, L., Xu, J., Feng, F. & He, G. (2011). Isolation of a novel peptide from silkworm pupae protein components and interaction characteristics to angiotensin I-converting enzyme. *European Food Research and Technology*, 232, 29–38.
- Wu, Q. Y., Jia, J. Q., Tan, G. X., Xu, J. L. & Gui, Z. Z. (2011). Physicochemical properties of silkworm larvae protein isolate and gastrointestinal hydrolysate bioactivities. *African Journal of Biotechnology*, 10, 6145–6153.
- Yi, L., Lakemond, C. M. M., Sagis, L. M. C., Eisner-Schadler, V., Van Huis, A. & Van Boekel, M. A. J. S. (2013). Extraction and characterization of protein fractions from five insect species, *Food Chemistry*, 14, 3341–3348.
- Zhao, X., Vazquez-Gutierrez, J. L., Johansson, P. D., Landberg, R. & Langton, M. (2016). Yellow mealworm protein for food purposes - extraction and functional properties, *PIOS One*, 11(2), e0147791.
- Zielinska, E., Karas, M. & Baraniak, B. (2018). Comparison of functional properties of edible insects and protein preparation thereof. *LWT – Food Science and Technology*, 91, 168–174.